

Wydział Elektroniki i Technik Informacyjnych  
Politechnika Warszawska

Sztuczne Sieci Neuronowe

Klasyfikacja cukrzycy

Sobolewski Konrad, Walczak Paweł

Warszawa, 2017

# Spis treści

<b>1. Podział danych i implementacja sieci . . . . .</b>	<b>2</b>
<b>2. Badania . . . . .</b>	<b>3</b>
2.1. Główne Badania . . . . .	3
2.1.1. Warstwy . . . . .	3
2.1.2. Metoda Optymalizacji . . . . .	9
2.1.3. Szybkość nauki . . . . .	11
2.2. Badania dodatkowe . . . . .	14
2.2.1. Batch size . . . . .	14
2.2.2. Iteracje . . . . .	14
2.2.3. PCA . . . . .	14
2.3. Wnioski końcowe . . . . .	14

# 1. Podział danych i implementacja sieci

Celem projektu było zaimplementowanie sieci neuronowej do klasyfikacji występowania cukrzycy.

Korzystaliśmy ze zbioru danych pochodzącego ze strony

<https://archive.ics.uci.edu/ml/datasets/pima+indians+diabetes>

Zbiór składa się z 768 próbek. Liczba atrybutów to 8, zaś wyjściem jest binarna klasyfikacja ( 1 - cukrzyca występuje, 0 - brak cukrzycy ). Przed podaniem danych na wejście sieci neuronowej, dokonaliśmy szeregu modyfikacji. Po pierwsze wydzielamy, atrybuty ( *features* ) od danych o klasyfikacji ( *labels* ). Następnie normalizujemy dane. Brak normalizacji danych, charakteryzuje się tym, że pewne z atrybutów ( ze względu na zakres wartości jakie przyjmuje, czyt. większe niż inne atrybuty ) dominują nad innymi, co powoduje że sieć neuronowa daje błędne wyniki. Następnie dokonaliśmy podziału danych przy użyciu pakietu *sklearn* na dwa zbiory: uczący (80%) oraz testowy (20%). W tym celu została wykorzystana funkcja *train\_test\_split*. Po uzyskaniu danych stosujemy metodę *one hot encoding* dla danych o klasyfikacji ( wyjść ), aby pozyskane dane przetransformować do formatu, tak aby zgadzały się z formą wymaganą przez metody tensorflow. W dalszej części sprawozdania ukażemy również wpływ *PCA* ( *Principal Component Analysis* ) na skuteczności klasyfikacji. Uzyskane dane wspomnianymi krokami są gotowe do przepuszczenia przez sieć neuronową. Dla naliczania kosztu, stosujemy metodę *softmax cross entropy*. Możemy ją stosować, dzięki uprzedniemu zastosowaniu one hot encoding dla wyjść.

## 2. Badania

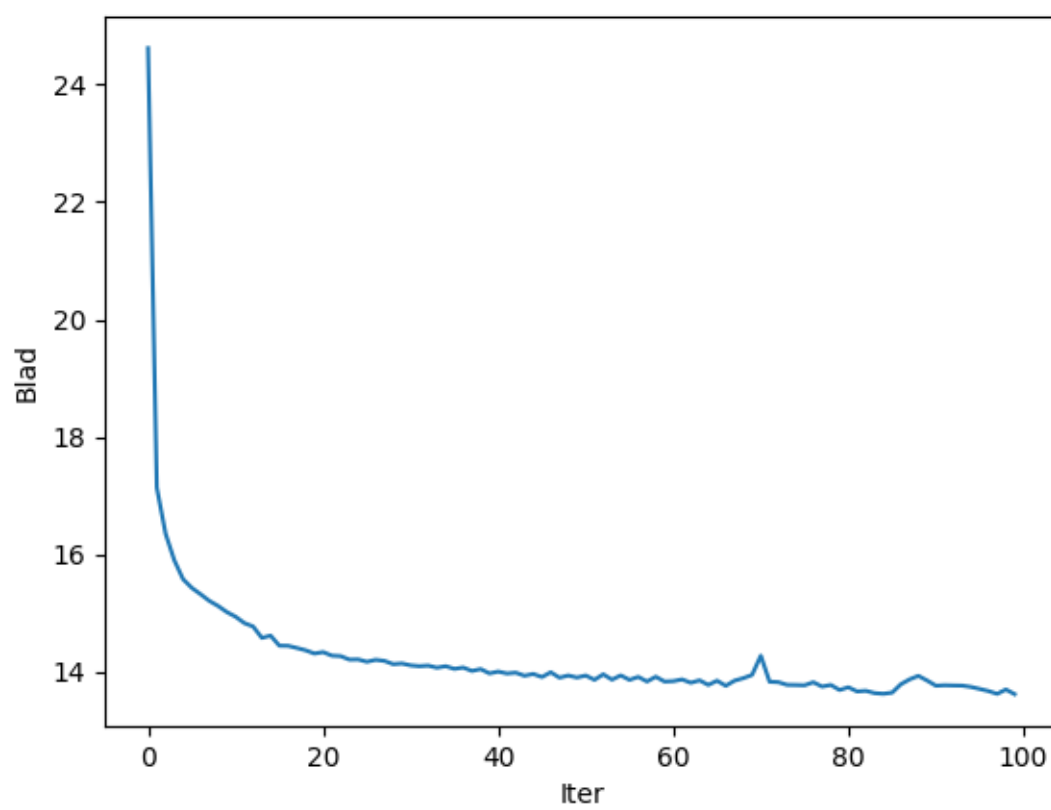
Należy uwzględnić fakt, że ze względu na losowe wybieranie wartości początkowych wag, osiągane są wyniki różnej jakości. Z tego względu, dla każdej konfiguracji, dokonywaliśmy kilku (4-5) generacji po czym wybieraliśmy najlepszy wynik.

### 2.1. Główne Badania

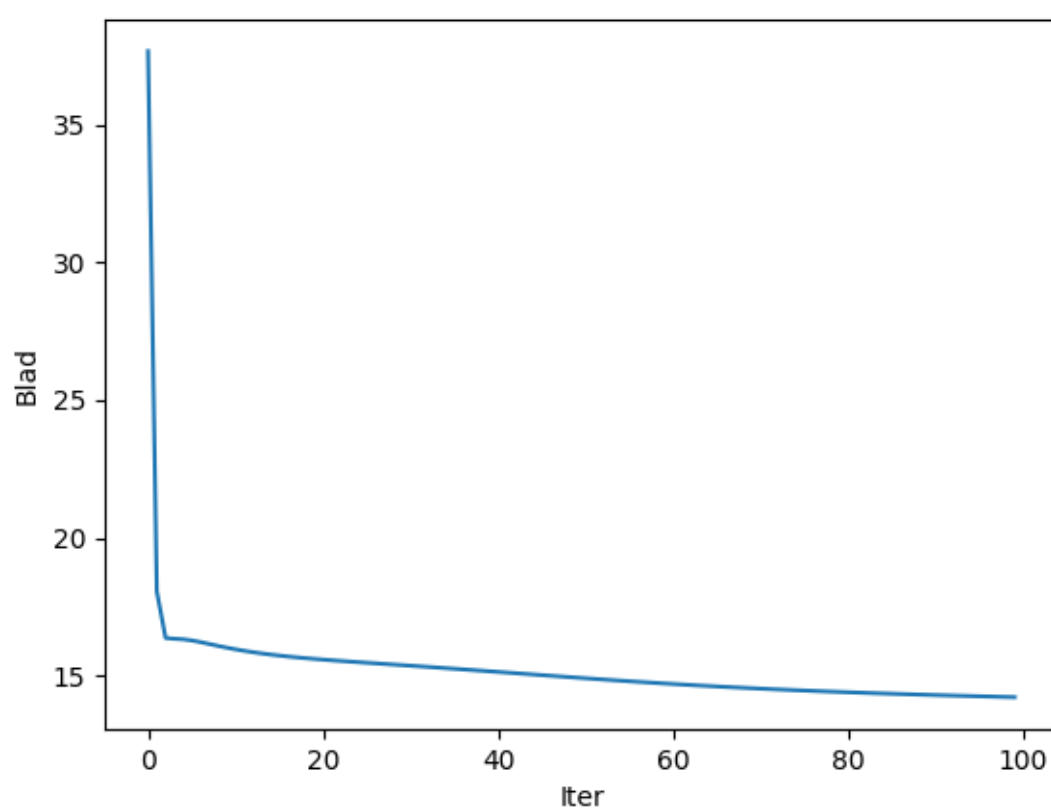
Nadmieniamy, że badania wykonujemy z uwzględnieniem tzw. Batch Size. Jest to sposób nauczania sieci neuronowych, gdzie aktualizację wag wykonujemy dopiero po uwzględnieniu danej ilości próbek. Dla systemów komputerowych z GPU nauka sieci neuronowych z wykorzystaniem wspomnianych batch size, jest czasowo dużo bardziej efektywna. Powoduje to również inny sposób naliczania błędów ( naliczanie dla każdego "batcha" osobno i późniejsze sumowanie ).

#### 2.1.1. Warstwy

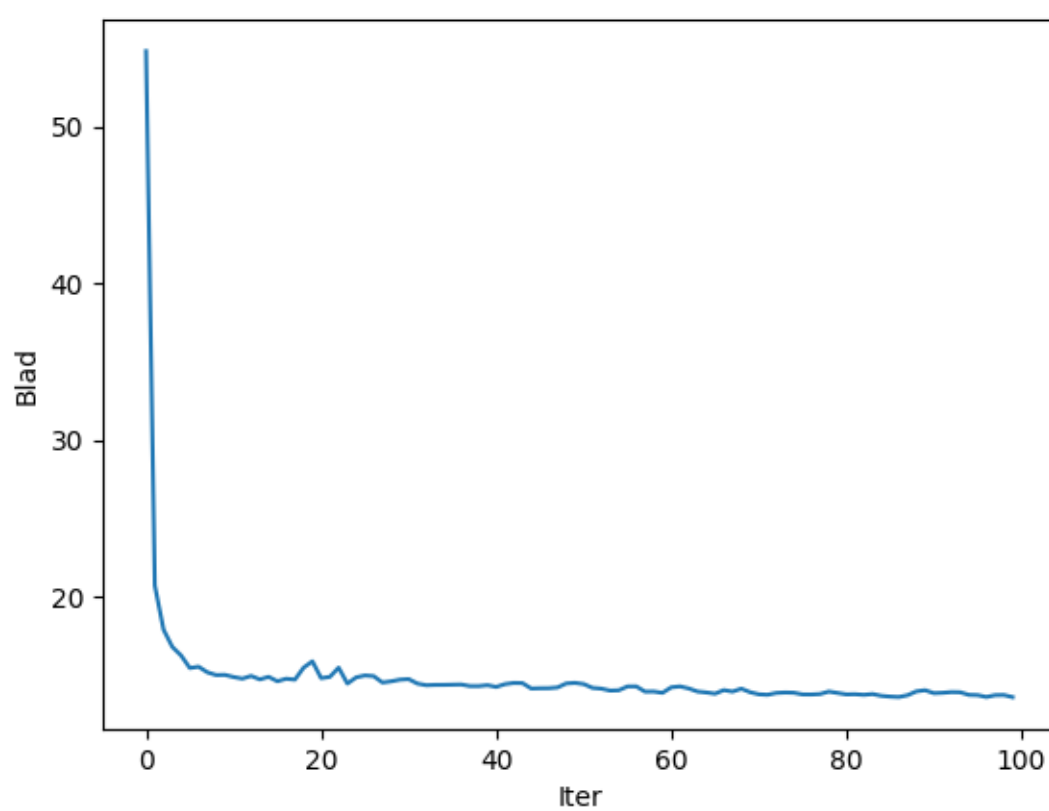
Warstwy(neurony)	Wynik
1 (10)	Uczący: 0.791531, Testowy: 0.785702
1 (50)	Uczący: 0.775244, Testowy: 0.805195
2 (50,10)	Uczący: 0.832388, Testowy: 0.815191
2 (100,50)	Uczący: 0.806843, Testowy: 0.785937
3 (50,10,10)	Uczący: 0.770847, Testowy: 0.795195
3 (500,500,500)	Uczący: 0.660637, Testowy: 0.710585



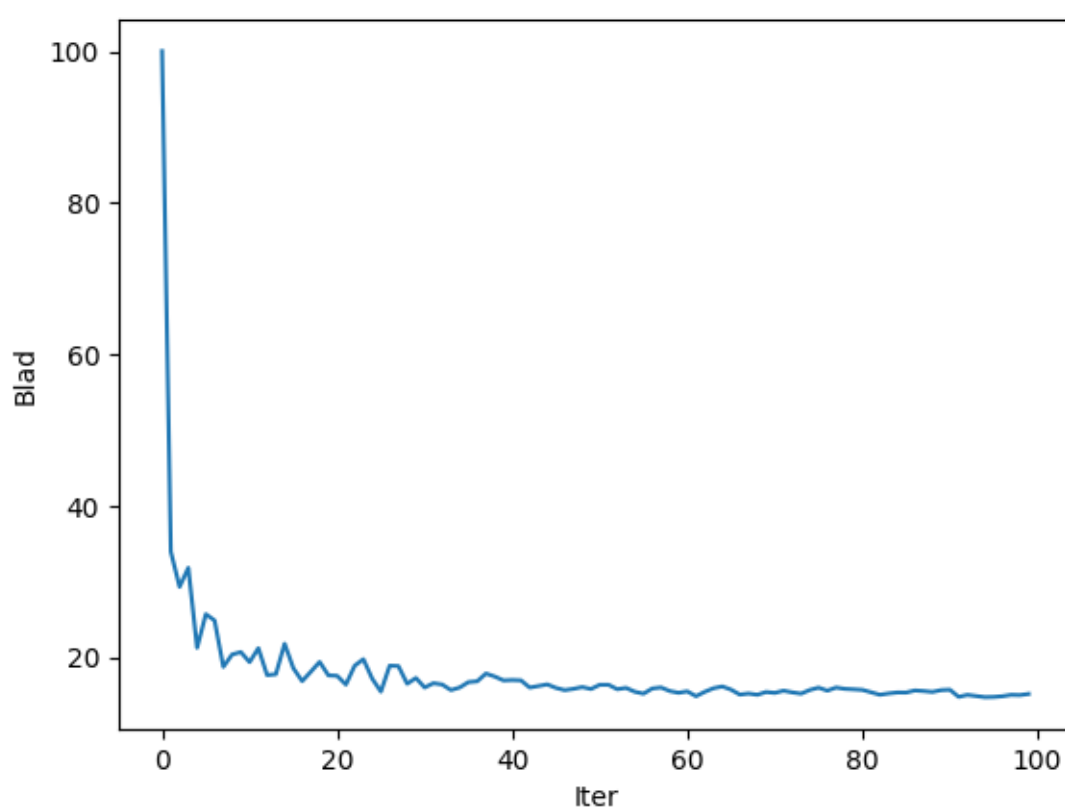
Rys. 2.1. Błąd , 1 warstwa 10 neuronów



Rys. 2.2. Błąd , 1 warstwa 50 neuronów

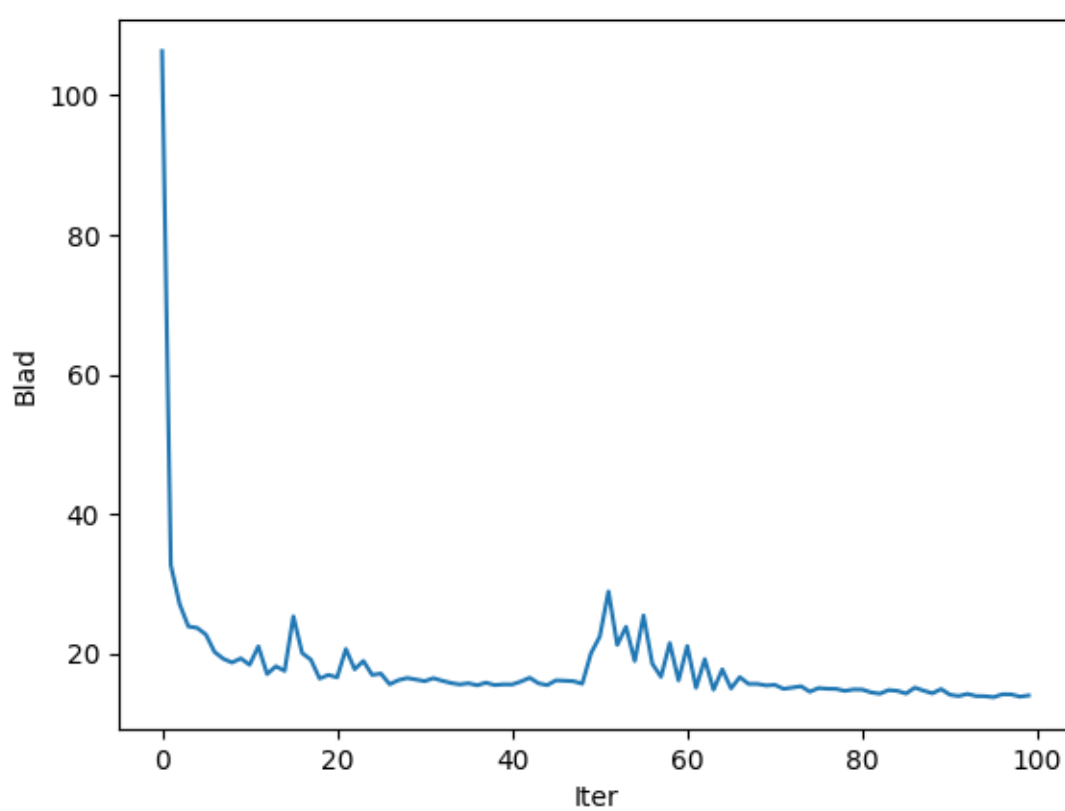


Rys. 2.3. Błąd , 2 warstwy 50,10 neuronów

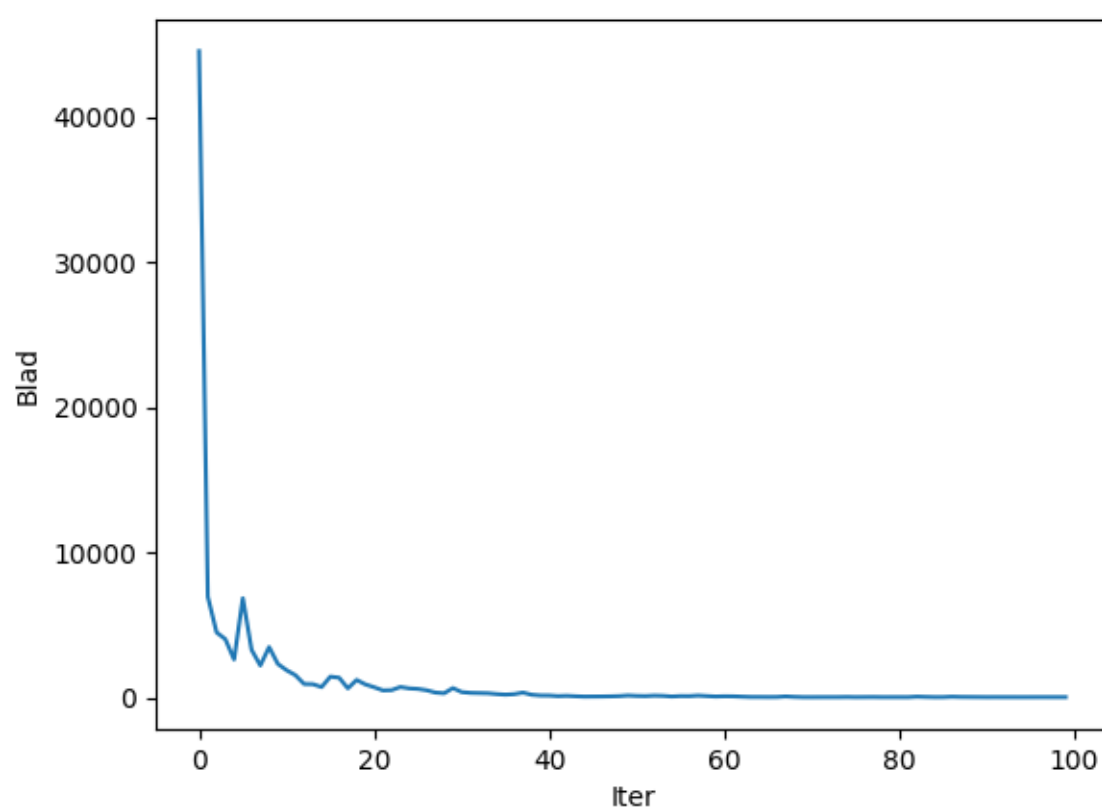


Rys. 2.4. Błąd , 2 warstwy 100,50 neuronów





Rys. 2.5. Błąd , 3 warstwa 50,10,10 neuronów

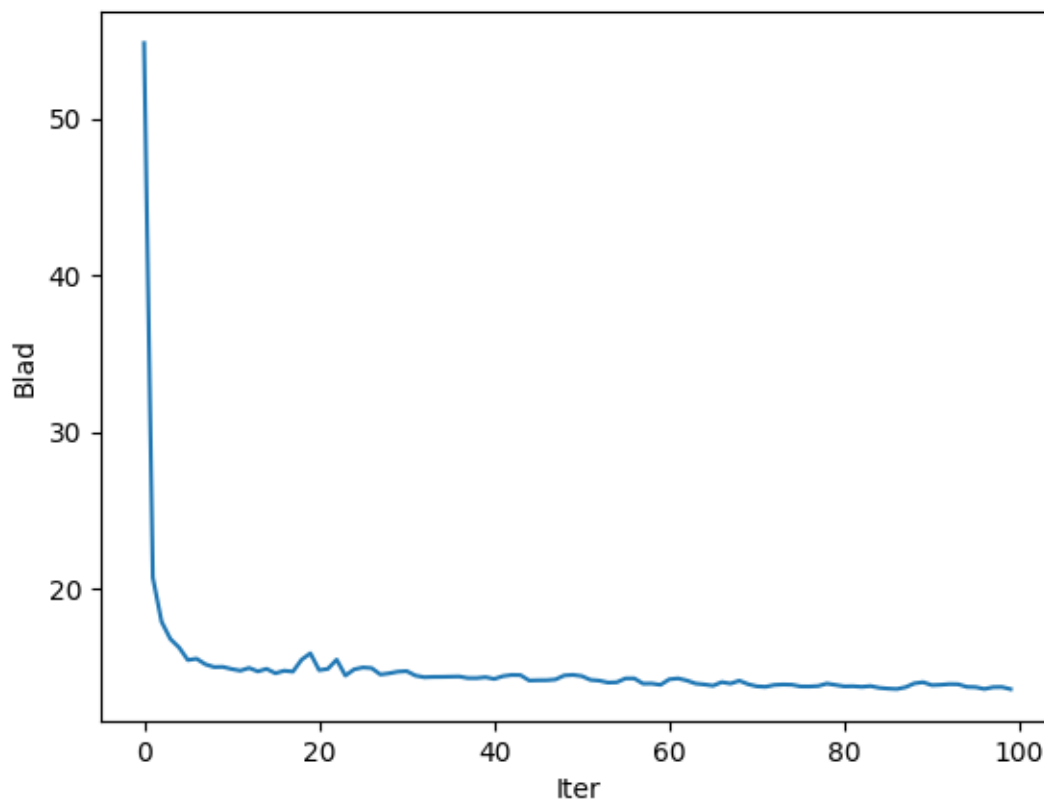


Rys. 2.6. Błąd , 3 warstwa 500,500,500 neuronów

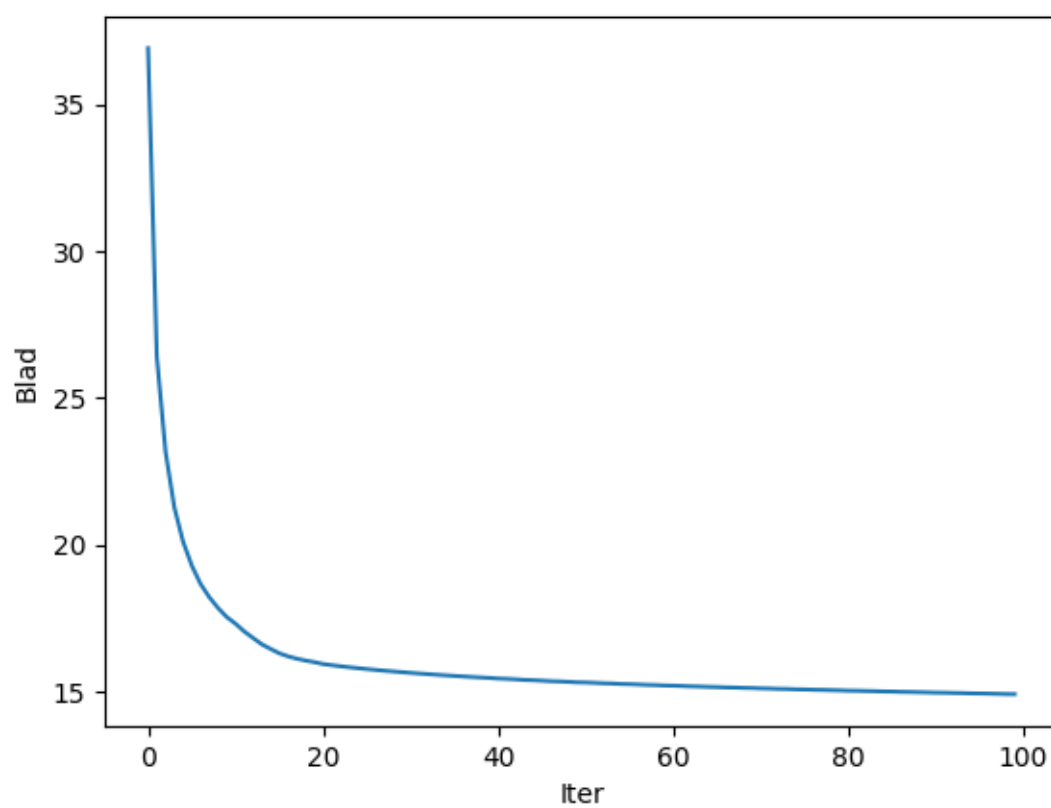
Oceniając wykresy, zauważamy, że w pierwszych kilku/kilkunastu iteracjach, następuje szybki spadek wartości błędu. W dalszych iteracjach jakość rozwiązania nie poprawia się. Dla niektórych konfiguracji następują pewne oscylacje w fazie stabilizacji, jednakże szybko również i one gasną. Zauważamy, że liczba neuronów w jednej warstwie ukrytej nie wpływa znacząco na jakość rozwiązań. Wyniki dla dwóch warstw ukrytych są nieco lepsze ( precyzja dla obu zbiorów o 2 % większa ). Wyniki są podobne do poprzednich konfiguracji ( nieco gorsze od 2 warstw ukrytych). Jednakże, zauważamy że czas obliczeń jest już znaczny. Na podstawie powyższych wyników jednoznacznie widać przewagę sieci z dwoma warstwami. Zostanie ona wykorzystana do dalszych badań.

### 2.1.2. Metoda Optymalizacji

Metoda	Wynik
Adam	Uczący: 0.833876, Testowy: 0.818182
Stochastic Gradient Descent	Uczący: 0.767101, Testowy: 0.785714



Rys. 2.7. Adam Optymalization

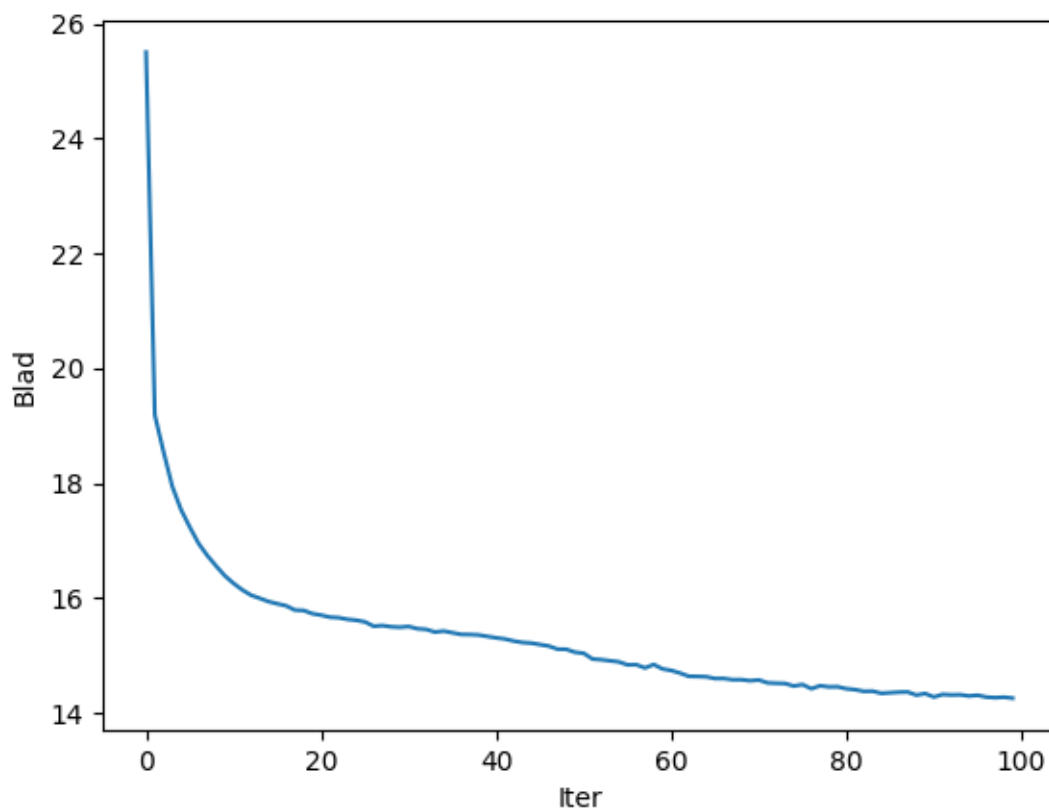


Rys. 2.8. Stochastic Gradient Descent Optymalization

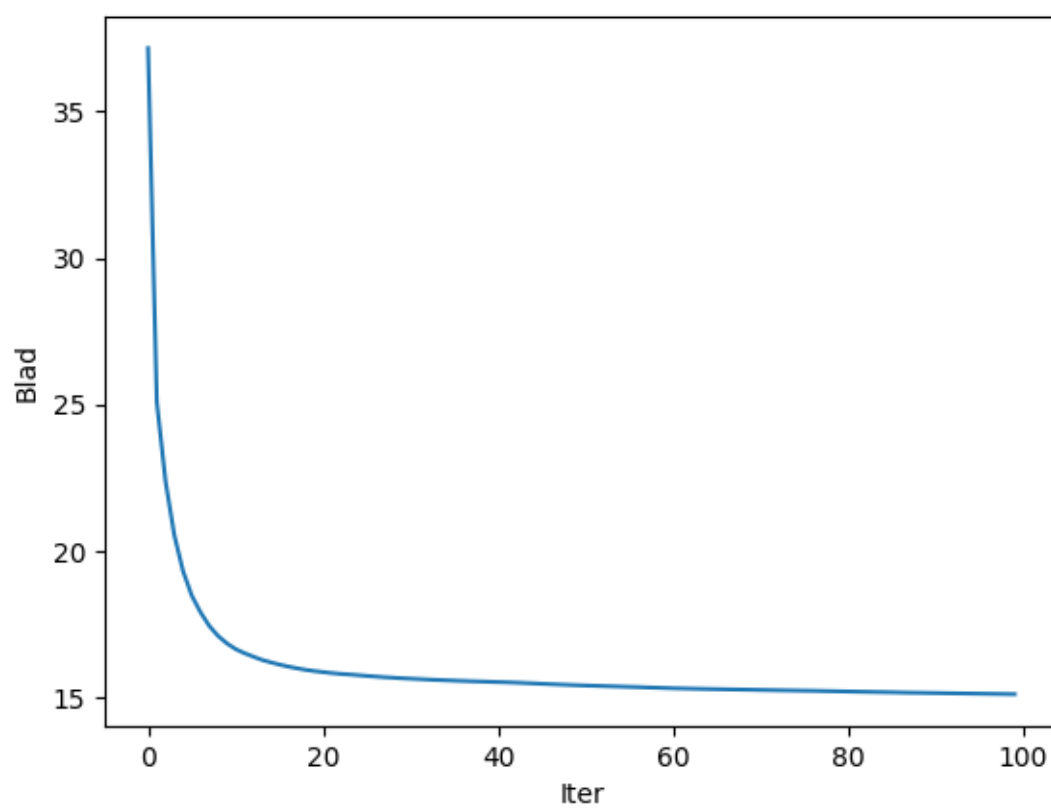
Lepszą metodą optymalizacji jest metoda Adam. Osiąga ona lepsze skuteczności na obu zbiorach, jak i szybciej znajduje optymalne wartości wag.

### 2.1.3. Szybkość nauki

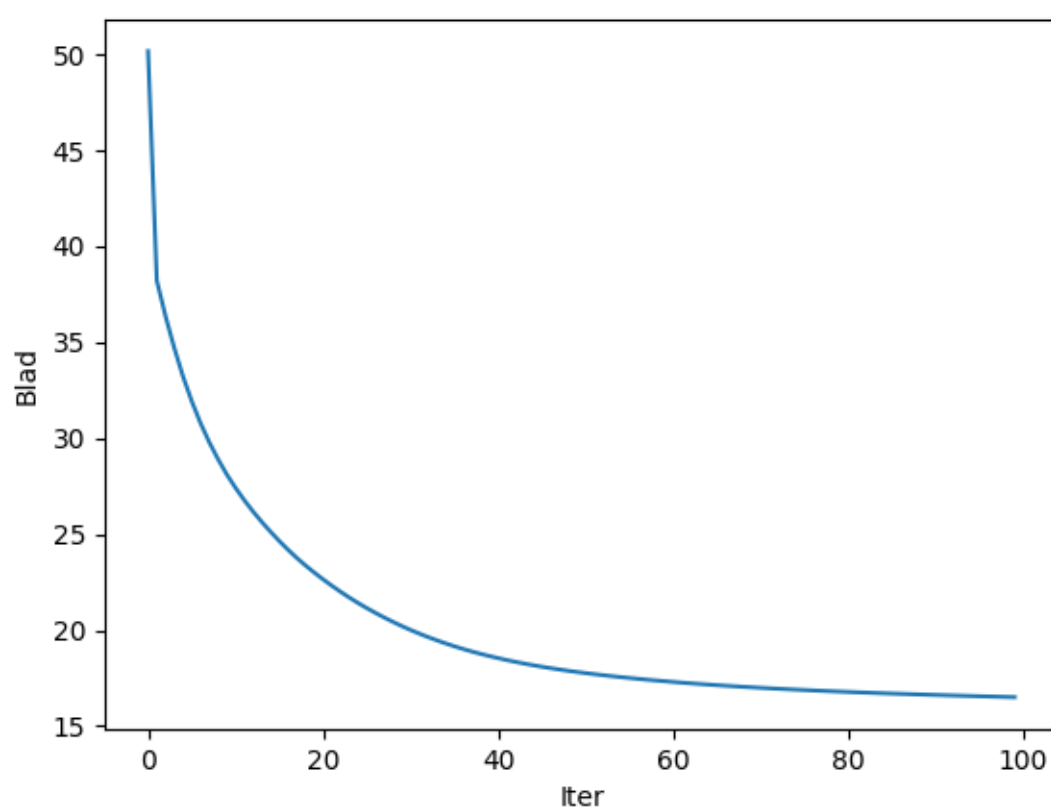
Szybkość nauki	Wynik
0.1	Uczący: 0.778063, Testowy: 0.780105
0.01	Uczący: 0.779221, Testowy: 0.778502
0.001	Uczący: 0.753348, Testowy: 0.753929



Rys. 2.9. Szybkość nauki - 0.1



Rys. 2.10. Szybkość nauki - 0.01



Rys. 2.11. Szybkość nauki - 0.001

Oceniając kształty wykresów dochodzimy do wniosku, że najlepiej sieć neuronowa uczy się dla współczynnika nauki o wartości 0.01.

## 2.2. Badania dodatkowe

### 2.2.1. Batch size

Batch size	Wynik
1	Uczący: 0.794332, Testowy: 0.772727
5	Uczący: 0.762704, Testowy: 0.759221
10	Uczący: 0.782476, Testowy: 0.778182
20	Uczący: 0.832388, Testowy: 0.815191
100	Uczący: 0.811075, Testowy: 0.811688

Najlepsze wyniki osiągamy dla batch size o wartości 20. Wybranie batch size o bardzo małych wartościach powoduje bardzo długie liczenie, dla tego kompromisem między szybkością a jakością wyników jest właśnie 20.

### 2.2.2. Iteracje

Iteracje	Wynik
10	Uczący: 0.785016, Testowy: 0.811688
20	Uczący: 0.79316 , Testowy: 0.811688
50	Uczący: 0.802932, Testowy: 0.811688
100	Uczący: 0.833876, Testowy: 0.818182
200	Uczący: 0.869707, Testowy: 0.805195
500	Uczący: 0.941368, Testowy: 0.75974

Najlepsze wyniki wg nas osiągamy dla liczby iteracji ( a właściwie epok, uwzględniając batch size) 100. Dla większych wartości iteracji, dokładnie widzimy zjawisko przeuczania, tzn. osiągamy bardzo dobre wyniki dla zbioru uczącego, jednakże złe wyniki dla zbioru testowego.

### 2.2.3. PCA

Liczba atrybutów	Wynik
3	Uczący: 0.756083, Testowy: 0.770483
4	Uczący: 0.761274, Testowy: 0.782353
5	Uczący: 0.779273, Testowy: 0.726237
6	Uczący: 0.833876, Testowy: 0.818182
7	Uczący: 0.804182, Testowy: 0.741462

Bardzo ciekawe wyniki otrzymujemy dla wykorzystania PCA. Widzimy, że po zredukowaniu wymiarowości do 6 atrybutów, otrzymujemy bardzo dobre wyniki. Nawet po zredukowaniu o jeszcze więcej atrybutów wyniki nadal są stosunkowo przyzwoite. Dowodzi to, że niektóre z atrybutów ze zbioru danych nie niosą ze sobą użytecznej informacji.

## 2.3. Wnioski końcowe

Po przeprowadzeniu badań, dochodzimy do wniosku, że najlepszą konfiguracją sieci neuronowej dla zadania klasyfikacji cukrzycy jest:

- struktura sieci: 2 warstwy ukryte 50 , 10 neuronów,
- 100 iteracji,
- szybkość uczenia - 0.01,
- batch size - 20 - szybsza nauka oraz dobre wyniki,



- 
- PCA - 6 - nieuwzględnienie części atrybutów powoduje uzyskanie lepszych wyników. Wpływa to również na szybsze nauczanie sieci, ze względu na mniejszy nakład obliczeń.